PENERAPAN MODEL GARCH DALAM MENGEVALUASI RISIKO VOLATILITAS INVESTASI EMAS (XAU/USD) TAHUN 2019-2024

Raden Roro Endraswati Wardani Wisnu Murti^{1*}, Nuramaliyah²

^{1,2}Program Studi Statistika, Fakultas Sains dan Teknologi Universitas Terbuka *Penulis korespondensi: nuti.id21@gmail.com

ABSTRAK

Fluktuasi harga emas yang signifikan sejak 2019 hingga 2024 menjadikan investasi emas sebagai pilihan utama di tengah ketidakpastian ekonomi global. Tujuan penelitian ini untuk menganalisis volatilitas harga emas selama 6 tahun terakhir, mengetahui lonjakan tertinggi harga emas selama periode tersebut serta meramalkan harga emas Bulan Juni - Agustus tahun 2025 menggunakan model Generalized Autoregressive Conditional Heteroskedasticity (GARCH). Data yang digunakan dalam penelitian ini adalah data historis dari bulan Januari 2019 hingga Desember 2024. Berdasarkan analisis yang dilakukan dengan model GARCH, diperoleh model terbaik adalah model GARCH (1,1) dengan nilai AIC dan SIC sebesar 22.37385 dan 22.44600. Hasil penelitian juga menunjukkan lonjakan tertinggi harga emas ada di 17 November 2024 dan hasil peramalan menunjukkan akan adanya kenaikan harga emas pada bulan Juni – Agustus 2025 secara signifikan berdasarkan akurasi peramalan yang mendekati nilai yang aktual dengan hasil nilai MAPE yang diperoleh sebesar 3.78%.

Kata Kunci: GARCH, Investasi emas, MAPE, Peramalan, Volatilitas

1 PENDAHULUAN

Investasi emas di tahun 2025 ini menjadi tren pembicaraan kalangan masyarakat luas. Mumpuni & Sitohang, (2017) meyakini bahwa berinvestasi emas sebagai safe haven. Hal ini dikarenakan emas memiliki nilai yang stabil untuk jangka waktu yang panjang. Pada penelitian Hasan & Rizaldi, (2021) disampaikan jika selama pandemi COVID-19 harga emas mengalami kenaikan sedangkan banyak investasi lain mengalami penurunan harga. Witjaksono et al., (2022) juga menyampaikan jika yang mempengaruhi naik dan turunnya harga pasar emas dunia adalah faktor-faktor yang berpengaruh pada jam perdagangan global. Menurut Handini & Astawinetu, (2020) investasi merupakan harapan sejumlah dana atau sumber daya lain, yang diharapkan di masa mendatang akan menghasilkan keuntungan. Oleh karena itu, emas kini menjadi salah satu bentuk investasi yang paling diminati, karena mampu menjawab harapan tersebut di tengah ketidakpastian ekonomi global.

Seperti diketahui volatilitas harga emas selama 6 tahun terakhir menjadi tantangan baru. Menurut Firmansyah (2006) dalam Narani & Rikumahu, (2019), volatilitas merupakan pergerakan naik dan turunnya (fluktuasi) harga dalam periode tertentu namun tidak mengukur tingkat harga, akan tetapi dilihat dari derajat variasinya dari satu periode ke periode berikutnya. Harga emas tidak bergerak secara linier dan stabil, melainkan mengalami fluktuasi tajam yang dipengaruhi oleh dinamika makroekonomi dan psikologi pasar. Abounoori & Zabol, (2020) mengungkapkan bahwa volatilitas harga emas tidak hanya dipicu oleh faktor fundamental, tetapi juga oleh ekspektasi pasar dan peristiwa tak terduga. Situasi ini menciptakan kebutuhan untuk memahami secara komprehensif perkembangan volatilitas harga emas dari tahun 2019 hingga 2024.

Selain menganalisa perkembangan volatilitas harga emas, diperlukan juga peramalan harga emas di tahun 2025 ini. Menurut (Budiman, 2025) peramalan atau forescating merupakan cara

memprediksi kejadian di masa yang akan datang berdasarkan data masa lalu dan analisis tertentu. (Firdausia & Nasrudin, 2023) menyampaikan bahwa dalam memprediksi volatilitas dapat dilakukan dengan model ARCH dan model GARCH. Seperti yang dikatakan Amri et al., (2024) dalam jurnalnya, model GARCH merupakan model ARCH yang telah dikembangkan oleh Bollerslev pada tahun 1986, dengan pedoman jika model ARCH digunakan ketika model AR residual digunakan.

Model GARCH (Generalized Autoregressive Conditional Heteroskedasticity) menjadi salah satu pendekatan paling relevan dan populer dalam memodelkan dan meramalkan volatilitas aset keuangan. Banyak penelitian yang telah menerapkan model GARCH ini secara luas, bahkan dalam studi global seperti (Abounoori & Zabol, 2020). Di Indonesia, model GARCH telah digunakan untuk menganalisis fluktuasi harga emas (Amri, Astuti, et al., 2024; Beeg et al., 2024; hasan et al., 2017; Firdausia & Nasrudin, 2023; Hasan & Rizaldi, 2021; Narani & Rikumahu, 2019; Sulistiowati et al., 2021) lalu saham (Amri, Puspitasari, et al., 2024; Firdausia & Nasrudin, 2023; Sulistiowati et al., 2021), bitcoin (Narani & Rikumahu, 2019) bahkan komoditas pokok lain seperti sembilan bahan pokok (Larasati et al., 2017).

Berdasarkan uraian tersebut, penelitian ini bertujuan untuk memberikan tambahan wawasan informasi terkait volatilitas harga emas di tahun 2019 hingga 2024, sehingga dapat dilihat juga lonjakan tertinggi harga emas selama 6 tahun terakhir. Selain itu, penelitian ini juga bertujuan untuk meramalkan harga emas di bulan Juni – Agustus 2025.

2 METODE PENELITIAN

Penelitian ini menggunakan pendekatan kuantitatif dengan data time series yang diperoleh dari data sekunder. Menurut Mubarak, (2021) analisis data time series sifatnya dinamis, dikarenakan perubahan-perubahan yang disebabkan oleh perubahan waktu telah diperhitungkan sebelumnya.

2.1 Data dan Sumber Data

Data yang digunakan adalah data historis harga penutupan Emas Spot Dolar AS (XAU/USD) yang dikonversi kedalam rupiah Indonesia (USD/IDR). Data diambil dari Investing.com, (2025) dengan periode waktu per-minggu dari bulan Januari 2019 hingga Desember 2024 sehingga diperoleh sebanyak 313 data, dimana data harga emas menggunakan satuan 1 troy ounce yang artinya sama dengan 31,1034768 gram.

2.2 Metode Generalized Autoregressive Conditional Heteroskedasticity (GARCH)

Menurut Nurfajriyah et al., (2024) GARCH merupakan metode yang dapat diasumsikan sebagai nilai peramalan di masa depan dengan dipengaruhi kuadrat residual dan varian data berdasarkan periode sebelumnya. Untuk mengaplikasikan model GARCH pada penelitian dilakukan dengan langkah-langkah analisis sebagai berikut:

1. Uji Stasioneritas

Uji ini dilakukan untuk mengetahui apakah data sudah stasioner dalam rataan dan variansnya. Dalam uji stasioner dilakukan beberapa langkah berikut:

- a. Plot Time Series
 - Untuk dapat dikatakan data stasioner, plot data time series harus konstan setiap waktu terhadap rataan dan varian.
- b. Uji Unit Root
 - Uji ini dilakukan untuk memastikan kejelasan stasioner data. Untuk melakukan uji ini dapat dilakukan dengan 3 cara yang sering digunakan, yaitu:

Uji Augmented Dickey-Fuller (ADF), menurut (Muzakki et al., 2022) uji ADF memiliki konsep apabila suatu data time series tidak stasioner pada saat orde nol, maka stasioneritas data tersebut dapat dicari melalui order berikutnya. Bentuk persamaan uji ADF adalah sebagai berikut:

$$\Delta Y_t = \alpha_0 + \gamma Y_{t-1} + \sum_{i=2}^n \beta_i \Delta Y_{t-1} + e_t \tag{1}$$

Uji Philips-Peron (PP), dalam Aktivani, (2020) disampaikan jika Phillips dan Peron (1988) mengembangkan generalisasi dari prosedur Dickey-Fuller bahwa istilah kesalahan berkorelasi dan tidak memiliki varian konstan. Bentuk persamaan uji PP adalah sebagai berikut:

$$\Delta Y_t = \alpha_0 + \gamma Y_{t-1} + e_t \tag{2}$$

Kwiatkowski Phillips Schmidt Shin (KPSS) merupakan uji statistik yang digunakan untuk menguji kestasioneran data. Bentuk persamaan uji KPSS adalah sebagai berikut:

$$Y_t = \alpha'_0 + e'_t \tag{3}$$

c. Plot ACF dan PACF

Plot ACF dan PACF ini sangat membantu dalam mendeteksi (AR) dan (MA) yang mungkin stasioner. Jika data ditemukan belum stasioner dalam varians maka dilakukan transformasi, namun apabila ditemukan data belum stasioner dalam rataan maka dilakukan differencing sampai ditemukan data sudah stasioner dalam rataan maupun varians.

2. Estimasi Parameter Model dan Pemilihan Model Terbaik

Untuk menghasilkan prediksi yang akurat diperlukan pemilihan model terbaik, model terbaik meniliki ciri khas tersendiri yang berfungsi untuk menentukan kriteria dalam menentukan model. Berikut beberapa model dari model deret waktu:

a. Model AR (p)

Makridakis et al., (1999) dalam Anbiya & Garini, (2022) mengungkapkan bahwa Model Autoregressive (AR) merupakan suatu ramalan sebagai fungsi nilai-nilai sebelumnya dari time series tertentu. Bentuk persamaan AR dinyatakan sebagai berikut:

$$Y_{t} = \emptyset_{1} Y_{t-1} + \emptyset_{2} Y_{t-2} + \dots + \emptyset_{p} Y_{t-p} + e_{t}$$
(4)

b. Model MA (q)

Makridakis et al., (1999) dalam Anbiya & Garini, 2022) mengungkapkan bahwa Model Moving Average (MA) merupakan nilai time series pada waktu t yang dipengaruhi oleh unsur kesalahan pada saat ini dan unsur kesalahan terbobot pada masa lalu. Bentuk dari persamaan model MA sebagai berikut:

$$Y_{t} = e_{t} - \theta_{1}e_{t-1} - \theta_{2}e_{t-2} - \dots - \theta_{q}e_{t-q}$$
(5)

c. Model ARMA (p,q)

Model Moving Average of Autoregressive Process (ARMA) merupakan bentuk gabungan dari model AR dan MA yang menggabungkan elemen-elemen keduanya. Bentuk persamaan ARMA sebagai berikut:

$$Y_{t} = \emptyset_{1}Y_{t-1} + \emptyset_{2}Y_{t-2} + \dots + \emptyset_{p}Y_{t-p} + e_{t} - e_{t} - \theta_{1}e_{t-1} - \theta_{2}e_{t-2} - \dots - \theta_{q}e_{t-q}$$

$$(6)$$

d. Model ARIMA (p,d,q)

Model Autoregressive Integrated Moving Average (ARIMA) merupakan gabungan dari model ARMA yang sudah stasioner. Bentuk persamaan dari ARIMA adalah sebagai berikut:

$$\phi_p(B)(1-B)^d Y_t = \theta_q(B)e_t \tag{7}$$

3. Identifikasi Adanya Efek ARCH/GARCH

Uji ini digunakan untuk menguji keberadaan efek ARCH (Autoregressive Conditional Heteroscedasticity) pada model tersebut. Pada uji ini dapat diketahui dengan cara, Ketika nilai probabilitas lebih besar dari 0.05, maka model tidak mengandung heteroskedastisitas sehingga model tidak dapat digunakan pada model ARCH dan GARCH. Sedangkan disaat nilai probabilitasnya lebih kecil dari 0.05, maka model dinyatakan mengandung heteroskedastisitas dan dapat digunakan pada model ARCH dan GARCH.

4. Model ARCH/GARCH

Menurut Abounoori & Zabol, (2020) dalam jurnalnya memaparkan bahwa model GARCH akan muncul jika asumsi heteroskedastisitas dari regresi linier dikesampingkan. Model GARCH merupakan model ARCH yang telah dikembangkan oleh Bollerslev pada tahun 1986, dengan pedoman jika model ARCH digunakan ketika model AR residual digunakan oleh Amri, Puspitasari, et al., (2024). Bentuk persamaan dari model ARCH dapat dinyatakan sebagai berikut:

$$\sigma_t^2 = \alpha_0 + \alpha_1 e_{t-1}^2 + \alpha_2 e_{t-2}^2 + \dots + \alpha_p e_{t-p}^2 \tag{8}$$
 Bentuk persamaan dari model GARCH dapat dinyatakan sebagai berikut:
$$\sigma_t^2 = \alpha_0 + \alpha_1 e_{t-1}^2 + \alpha_2 e_{t-2}^2 + \dots + \alpha_p e_{t-p}^2 + \lambda_1 \sigma_{t-1}^2 + \dots + \lambda_p \sigma_{t-p}^2 \tag{9}$$
 dimana
$$\sigma_t^2 \qquad = \text{Varians pada periode t}$$

$$\alpha_0 \qquad = \text{Konstanta}$$

$$\alpha_1, \dots, \alpha_p \qquad = \text{Parameter ARCH}$$

$$e_{t-p}^2 \qquad = \text{Residual pada periode t} - 1, \ i = 1, 2, \dots, p$$

$$\sigma_{t-p}^2 \qquad = \text{Varians pada periode t} - 1, \ i = 1, 2, \dots, p$$

Dalam menentukan model terbaik dapat dilihat dari hasil uji AIC dan SIC terkecil yang didapatkan model peramalan.

5. Uji ARCH-LM

Untuk memastikan tidak ada lagi heteroskedatisitas dalam model terbaik yang terpilih, maka dilakukan uji heteroskedastisitas kembali pada model ARCH dan GARCH yang terpilih.

6. Peramalan dan mengidentifikasi kesalahan peramalan menggunakan MAPE (Mean Absolute Percentage Error)

Peramalan data historis harga emas dilakukan pada bulan Juni, Juli dan Agustus 2025. Menurut Anbiya & Garini, (2022) dengan peramalan pada jangka yang pendek akan menghasilkan peramalan yang lebih akurat dibandingkan pada peramalan jangka panjang. Dalam peramalan perlu dilakukan identifikasi kesalahan peralmalan untuk mengukur keakurasian peramalan yang dilakukan. Identifikasi peramalan akan dilakukan menggunakan MAPE. MAPE (Mean Absolute Percentage Error) adalah metrik yang digunakan untuk mengukur tingkat akurasi peramalan, yang diungkapkan dalam bentuk persentase oleh Hutasuhut et al., (2014) & Ping et al., (2013) dalam (Amri, Puspitasari, et al., 2024). Bentuk persamaan MAPE dinyatakan sebagai berikut:

$$MAPE = \left(\frac{100\%}{n}\right) \sum_{t=1}^{n} \frac{|X_t - F_t|}{X_t}$$
 (10)

dimana

 X_t = Data actual pada periode t

F_t = Nilai prediksi pada periode t

Nilai MAPE dapat dibagi menjadi beberapa kriteria sebagai berikut:

| Tahel | 1 | Kriteria MAPE |
|-------|----|---------------|
| Lanci | 1. | MINUTA MALE |

| Nilai MAPE | Kriteria |
|------------|-------------|
| < 10% | Sangat baik |
| 10% - 20% | Baik |
| 20% - 50% | Cukup |
| > 50% | Buruk |

3 HASIL DAN PEMBAHASAN

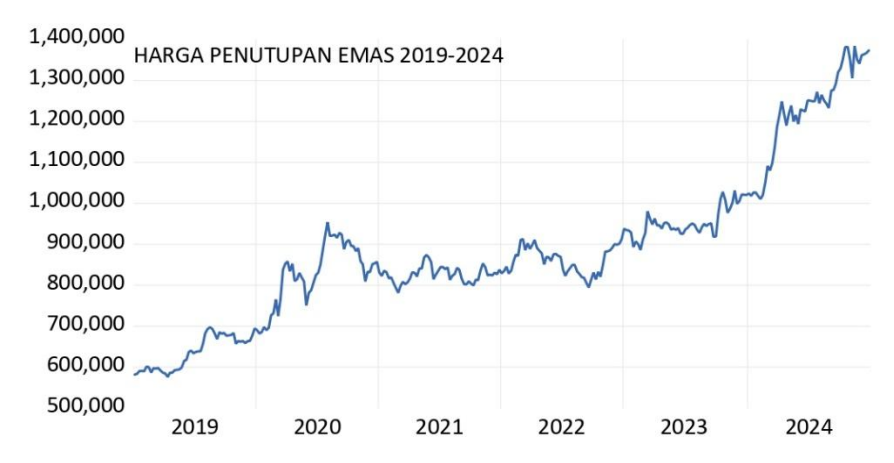
3.1 Statistika Deskriptif

Berdasarkan data yang diperoleh dari https://investing.com maka akan disajikan statistik deskriptif yang bertujuan untuk memberikan gambaran karakteristik dari variabel penelitian. Gambaran karakteristik tersebut diantaranya berisi nilai rata-rata, nilai minimum, dan nilai maksimum serta simpangan baku atau standar deviasi. Selama periode waktu 2019 hingga 2024 diambil data setiap minggu, diperoleh sebanyak 313 data. Dalam periode tersebut rata-rata harga emas sebesar Rp.888.265,31. Dengan harga emas terendah pada 14 April 2019 sebesar Rp.575.535 dan lonjakan harga emas tertinggi pada 17 November 2024 sebesar Rp.1.384.030. Standar deviasi yang diperoleh dari data tersebut adalah 188.334,57 nilai ini menunjukkan jika standar deviasi bernilai lebih kecil dari rata-rata harga emasnya, hal ini mencerminkan bahwa data harga emas mingguan tersebut bervolatilitas relatif rendah atau fluktuasinya tidak ekstrem.

3.2 Metode Generalized Autoregressive Conditional Heteroskedasticity (GARCH)

3.2.1 Uji Kestasioneran

Uji kestasioneran yang pertama dilakukan Adalah melihat plot time series seperti yang disjikan pada Gambar 1 berikut.



Gambar 1. Plot Time Series Harga Penutupan Emas (Investing.com, 2025)

Pada data time series tersebut juga menghasilkan output uji Augmented Dickey-Fuller yang ditunjukkan pada Gambar 2 berikut.

| | | | t-Statistic | Prob.* | | | |
|--|--|---|--|--|--|--|--|
| Augmented Dickey-Fu | Iller test statistic | 3 | 0.288294 | 0.9774 | | | |
| Test critical values: | 1% level | | -3.451146 | | | | |
| | 5% level | | -2.870591 | | | | |
| | 10% level | | -2.571663 | | | | |
| *MacKinnon (1996) one-sided p-values. | | | | | | | |
| Augmented Dickey-Fu Dependent Variable: I Method: Least Square Date: 05/28/25 Time: | D(EMAS) | on | | | | | |
| Sample (adjusted): 1/2 Included observations | : 312 after adju | stments | t-Statistic | Proh | | | |
| | | | t-Statistic | Prob. | | | |
| Included observations | : 312 after adju | stments | t-Statistic 0.288294 | Prob. 0.7733 | | | |
| Included observations Variable | : 312 after adju | Std. Error | | 10 1 2 2 2 2 2 2 2 2 2 2 2 2 2 2 2 2 2 2 | | | |
| Variable EMAS(-1) C | Coefficient 0.001622 | Std. Error 0.005625 5096.840 | 0.288294 0.215988 | 0.7733 | | | |
| Variable EMAS(-1) C R-squared | Coefficient 0.001622 1100.858 | Std. Error 0.005625 5096.840 Mean deper | 0.288294 0.215988 | 0.7733 0.8291 | | | |
| Included observations Variable EMAS(-1) C R-squared Adjusted R-squared | Coefficient 0.001622 1100.858 0.000268 | Std. Error 0.005625 5096.840 | 0.288294 0.215988 Indent var | 0.7733 0.8291 2538.843 | | | |
| Variable EMAS(-1) C R-squared | Coefficient 0.001622 1100.858 0.000268 -0.002957 | Std. Error 0.005625 5096.840 Mean deper | 0.288294 0.215988 Indent var Ident var criterion | 0.7733 0.8291 2538.843 18485.14 | | | |
| Variable EMAS(-1) C R-squared Adjusted R-squared S.E. of regression | Coefficient 0.001622 1100.858 0.000268 -0.002957 18512.45 | Std. Error 0.005625 5096.840 Mean deper S.D. depend Akaike info | 0.288294 0.215988 Ident var dent var criterion perion | 0.7733 0.8291 2538.843 18485.14 22.49666 | | | |
| Included observations Variable EMAS(-1) C R-squared Adjusted R-squared S.E. of regression Sum squared resid | Coefficient 0.001622 1100.858 0.000268 -0.002957 18512.45 1.06E+11 | Std. Error 0.005625 5096.840 Mean deper S.D. depend Akaike info | 0.288294 0.215988 Ident var dent var criterion terion nn criter. | 0.7733 0.8291 2538.843 18485.14 22.49666 22.52066 | | | |

Gambar 2. Uji Augmented Dickey-Fuller

Gambar 2 menunjukkan hasil Uji Augmented Dickey-Fuller data belum stasioner, karena nilai ADF test prob lebih besar dari 5%, maka dilakukan kembali uji ADF dengan tingkat first difference. Hasil uji Augmented Dickey-Fuller pada tingkat first difference ditujunkukkan pada Gambar 3 berikut.

| | | | t-Statistic | Prob.* | | | |
|--|---|--|-----------------------|--|--|--|--|
| Augmented Dickey-Ful Test critical values: | -17.75396 -3.451214 -2.870621 -2.571679 | 0.0000 | | | | | |
| *MacKinnon (1996) one-sided p-values. | | | | | | | |
| Augmented Dickey-Fuller Test Equation Dependent Variable: D(EMAS,2) Method: Least Squares Date: 05/27/25 Time: 20:51 Sample (adjusted): 1/20/2019 12/29/2024 Included observations: 311 after adjustments | | | | | | | |
| Variable | Coefficient | Std. Error | t-Statistic | Prob. | | | |
| D(EMAS(-1)) C | -1.010000 2564.335 | 0.056889 1061.313 | -17.75396 2.416191 | 0.0000 0.0163 | | | |
| R-squared Adjusted R-squared S.E. of regression Sum squared resid Log likelihood F-statistic Prob(F-statistic) | 0.504969 0.503367 18543.94 1.06E+11 -3496.763 315.2032 0.000000 | S.D. dependent var 263 Akaike info criterion 22.5 Schwarz criterion 22.5 Hannan-Quinn criter. 22.5 Durbin-Watson stat 2.00 | | 11.86047 26313.83 22.50008 22.52413 22.50970 2.000440 | | | |

Gambar 3. Uji Augmented Dickey-Fuller first difference

Gambar 3 menunjukkan hasil uji Augmented Dickey-Fuller dengan data yang telah dilakukan differencing satu kali, diperoleh probabilitas sebesar 0.0000 < 0.05. Artinya setelah dilakukan satu kali differencing pada data, data menjadi stasioner pada tingkat lag 1. Kemudian untuk melihat plot ACF dan PACF disajikan pada Gambar 4 berikut.

| | ns: 312 after adjustm Partial Correlation | ents | AC | DAC | Q-Stat | Prob |
|-----------------|--|------|--------|--------|--------|------|
| Autocorrelation | Partial Correlation | | AC | FAC | Q-Stat | FIOL |
| 1 🚺 1 | [ifi | 1 | -0.010 | -0.010 | 0.0315 | 0.85 |
| 10 | 1 (1) | 2 | -0.035 | -0.035 | 0.4151 | 0.81 |
| 40 | 1 (1) | 3 | -0.029 | -0.030 | 0.6885 | 0.87 |
| (1) | (1) | 4 | -0.024 | -0.026 | 0.8785 | 0.92 |
| (Di | (10) | 5 | 0.072 | 0.069 | 2.5150 | 0.77 |
| (1) | l di | 6 | 0.005 | 0.004 | 2.5246 | 0.86 |
| (1) | (1) | 7 | 0.019 | 0.023 | 2.6423 | 0.91 |
| (| (d) | 8 | -0.086 | -0.082 | 5.0242 | 0.75 |
| (d) | | 9 | -0.080 | -0.078 | 7.0998 | 0.62 |
| 111 | I do | 10 | 0.016 | 0.005 | 7.1816 | 0.70 |

Gambar 4. Plot ACF dan PACF

Gambar 4 menunjukkan hasil plot ACF dan PACF tersebut terlihat bahwa tidak ada korelasi yang signifikan dalam data.

3.2.2 Estimasi Parameter Model dan Pemilihan Model Terbaik

Dengan diketahui nilai dari masing-masing unsur pembentuk model ARIMA, pada model ARIMA ini dapat terbentuk sebanyak 3 model yaitu, ARIMA (0,1,1), ARIMA, (1,1,0) dan ARIMA (1,1,1). Untuk menentukan model yang terbaik dapat dilihat dari nilai AIC dan SIC yang paling kecil, maka hasil peramalannya akan semakin akurat.

| Variable | Coefficient | Std. Error | t-Statistic | Prob. |
|--------------------|-------------|---|---|--------------------|
| С | 2534.688 | 972.0169 | 2.607659 | 0.0096 |
| AR(1) | 0.850229 | 0.286122 | 2.971557 | 0.0032 |
| MA(1) | -0.872636 | 0.271526 | -3.213815 | 0.0014 |
| SIGMÀSQ | 3.40E+08 | 20406459 | 16.66024 | 0.0000 |
| R-squared | 0.001846 | Mean depen | dent var | 2538.843 |
| Adjusted R-squared | -0.007877 | S.D. depend | ent var | 18485.14 |
| S.E. of regression | 18557.80 | Akaike info | riterion | 22.50793 |
| Sum squared resid | 1.06E+11 | Schwarz crit | erion | 22.55592 |
| Log likelihood | -3507.237 | Hannan-Qui | nn criter. | 22.52711 |
| F-statistic | 0.189831 | Durbin-Wats | on stat | 1.978811 |
| Prob(F-statistic) | 0.903290 | 100000000000000000000000000000000000000 | 011104000000000000000000000000000000000 | 00.000.000.000.000 |
| Inverted AR Roots | .85 | | | |
| Inverted MA Roots | .87 | | | |

Gambar 5. Model ARIMA (1,1,1)

Gambar 5 menunjukkan bahwa model ARIMA (1,1,1) menjadi yang terbaik karena nilai variabelnya paling signifikan dengan dibawah 5% dan memiliki nilai AIC paling kecil yaitu 22.50793 serta nilai SIC paling kecil yaitu 22.55592.

3.2.3 Identifikasi Adanya Efek ARCH/GARCH

Mengidentifikasi adanya efek ARCH dilakukan dengan uji diagnostik residual heteroskedastisitas, identifikasi ini bertujuan untuk membuktikan bahwa model tersebut apakah layak dilanjutkan ke pembentukan model ARCH dan GARCH. Berikut hasil output uji heteroskedastisitas pada model ARIMA (1,1,1):

| Heteroskedasticity Test: ARCH | | | | | | | |
|--|---|-------------------------------|----------------------|--|--|--|--|
| F-statistic Obs*R-squared | 22.49281 21.10231 | Prob. F(1,309 Prob. Chi-Sq | | 0.0000 | | | |
| Test Equation: Dependent Variable: RESID^2 Method: Least Squares Date: 05/28/25 Time: 06:14 Sample (adjusted): 1/20/2019 12/29/2024 Included observations: 311 after adjustments | | | | | | | |
| Variable | Coefficient | Std. Error | t-Statistic | Prob. | | | |
| C RESID^2(-1) | 2.52E+08 0.260476 | 40289569 0.054922 | 6.260730 4.742658 | 0.0000 | | | |
| R-squared Adjusted R-squared S.E. of regression Sum squared resid Log likelihood | 0.067853 0.064836 6.29E+08 1.22E+20 -6741.072 22.49281 | | | 3.41E+08 6.51E+08 43.36380 43.38785 43.37342 2.040314 | | | |

Gambar 6. Output Uji Heteroskedastisitas pada Model ARIMA (1,1,1)

Gambar 6 menunjukkan hasil uji heteroskedastisitas pada model ARIMA (1,1,1) diperoleh hasil nilai probabilitasnya sebesar 0.0000 < 0.05, maka terdapat heteroskedastisitas dalam model tersebut. Dengan begitu model ini dapat dilanjutkan untuk ke pemodelan ARCH dan GARCH.

3.2.4 Model ARCH/GARCH

Dalam mengidentifikasi pemodelan ARCH dan GARCH, akan dicoba membentuk variasi model GARCH (1,0), dan GARCH (1,1). Untuk menentukan model terbaik GARCH dapat dilihat dari hasil uji AIC dan SIC yang paling kecil. Hasil output identifikasi model terbaik pada Gambar 7 dan Gambar 8 berikut.

| Variable | Coefficient | Std. Error | z-Statistic | Prob. | | |
|--------------------|-------------|---------------|-------------|----------|--|--|
| С | 1702.184 | 798.2324 | 2.132441 | 0.0330 | | |
| AR(1) | 0.783734 | 0.193048 | 4.059787 | 0.0000 | | |
| MA(1) | -0.837838 | 0.162993 | -5.140337 | 0.0000 | | |
| Variance Equation | | | | | | |
| С | 2.21E+08 | 19576253 | 11.30633 | 0.0000 | | |
| RESID(-1)^2 | 0.369409 | 0.096536 | 3.826658 | 0.0001 | | |
| R-squared | -0.004367 | Mean depen | dent var | 2539.064 | | |
| Adjusted R-squared | -0.010889 | S.D. depend | ent var | 18514.93 | | |
| S.É. of regression | 18615.46 | Akaike info o | riterion | 22.41560 | | |
| Sum squared resid | 1.07E+11 | Schwarz crite | erion | 22.47572 | | |
| Log likelihood | -3480.626 | Hannan-Quii | nn criter. | 22.43963 | | |
| Durbin-Watson stat | 1.905388 | | | | | |
| Inverted AR Roots | .78 | | | | | |
| Inverted MA Roots | .84 | | | | | |

Gambar 7. Hasil Output Model GARCH (1,0)

| Coefficient | Std. Error | z-Statistic | Prob. | | | |
|-------------------|---|--|---|--|--|--|
| 1563.488 | 950.1487 | 1.645519 | 0.0999 | | | |
| -0.682928 | 0.851777 | -0.801768 | 0.4227 | | | |
| 0.710448 | 0.823953 | 0.862244 | 0.3886 | | | |
| Variance Equation | | | | | | |
| 22769897 | 9259926. | 2.458972 | 0.0139 | | | |
| 0.164972 | 0.042171 | 3.911988 | 0.0001 | | | |
| 0.779314 | 0.053974 | 14.43878 | 0.0000 | | | |
| -0.002578 | Mean depen | dent var | 2539.064 | | | |
| -0.009088 | S.D. depend | ent var | 18514.93 | | | |
| 18598.87 | Akaike info o | riterion | 22.37385 | | | |
| 1.07E+11 | Schwarz crite | erion | 22.44600 | | | |
| -3473.133 | Hannan-Quir | nn criter. | 22.40269 | | | |
| 2.067210 | 100000 100000 of 10000 10007 (11 CHISTOCH) 200 | March Spirite Control (Spirite) | 100-07-A2 -00-35\$ A X (0) | | | |
| 68 | | | | | | |
| 71 | | | | | | |
| | 1563.488 -0.682928 0.710448 Variance 22769897 0.164972 0.779314 -0.002578 -0.009088 18598.87 1.07E+11 -3473.133 2.06721068 | 1563.488 950.1487 -0.682928 0.851777 0.710448 0.823953 Variance Equation 22769897 9259926. 0.164972 0.042171 0.779314 0.053974 -0.002578 Mean dependus of the control of | 1563.488 950.1487 1.645519 -0.682928 0.851777 -0.801768 0.710448 0.823953 0.862244 Variance Equation 22769897 9259926. 2.458972 0.164972 0.042171 3.911988 0.779314 0.053974 14.43878 -0.002578 Mean dependent var -0.009088 S.D. dependent var 18598.87 Akaike info criterion 1.07E+11 Schwarz criterion 1.07E+11 Schwarz criterion -68 | | | |

Gambar 8. Hasil Output Model GARCH (1,1)

Gambar 7 dan 8 menunjukkan hasil jika model GARCH(1,1) menjadi model terbaik, dikarenakan mendapatkan nilai AIC dan SIC paling kecil yaitu 22.37385 dan 22.44600.

3.2.5 Uji ARCH-LM

Dalam memastikan tidak terdapat heteroskedatisitas pada model yang terbaik, dilakukan uji ARCH Lagrangian Multiplier (LM). Berikut hasil uji heteroskedastisitas menggunakan uji ARCH-LM pada model GARCH (1,1):

| Heteroskedasticity Test: ARCH | | | | | | |
|--|--|--|----------------------|--|--|--|
| F-statistic Obs*R-squared | 0.072063 Prob. F(1,308) 0.072514 Prob. Chi-Square(1) | | | 0.7885 0.7877 | | |
| Test Equation: Dependent Variable: WGT_RESID^2 Method: Least Squares Date: 05/28/25 Time: 06:51 Sample (adjusted): 1/27/2019 12/29/2024 Included observations: 310 after adjustments | | | | | | |
| Variable | Coefficient | Std. Error | t-Statistic | Prob. | | |
| C WGT_RESID^2(-1) | 0.984049 0.015298 | 0.110030 0.056988 | 8.943476 0.268446 | 0.0000 0.7885 | | |
| R-squared Adjusted R-squared S.E. of regression Sum squared resid Log likelihood F-statistic Prob(F-statistic) | 0.000234 -0.003012 1.657084 845.7455 -595.4361 0.072063 0.788536 | S.D. dependent var Akaike info criterion 3.8 Schwarz criterion 3.8 Hannan-Quinn criter. 3.8 Durbin-Watson stat 2.0 | | 0.999349 1.654594 3.854427 3.878533 3.864063 2.001867 | | |

Gambar 9. Output Uji ARCH-LM pada Model GARCH (1,1)

Gambar 9 menunjukkan hasil output uji ARCH-LM didapatkan nilai probabilitas sebesar 0.7885 > 0.05. Sehingga dalam model GARCH (1,1) tidak terdapat heteroskedastisitas, maka dapat dilanjutkan untuk proses peramalan.

3.3 Peramalan dan mengidentifikasi kesalahan peramalan menggunakan MAPE (Mean Absolute Percentage Error)

Untuk memperoleh hasil peramalan harga emas pada bulan Juni - Agustus 2025 lebih akurat, maka dilakukan perbandingan harga emas dari hasil peramalan dan harga emas aktual menurut

https://investing.com. Berikut perbandingan harga emas aktual dan harga emas hasil peramalan selama 4 Minggu di bulan Januari 2025:

Tabel 2. Hasil Perbandingan Peramalan Model GARCH (1,1) dan Data Aktual

| Periode | Forecast | Data Historis | Selisih | Selisih dalam |
|-----------------|-----------|---------------|---------|----------------|
| | | Terbaru | | persentase (%) |
| 5 Januari 2025 | 1.375.230 | 1.399.143 | 23.913 | 1.7% |
| 12 Januari 2025 | 1.376.538 | 1.420.978 | 44.440 | 3.12% |
| 19 Januari 2025 | 1.378.276 | 1.440.737 | 62.460 | 4.33% |
| 26 Januari 2025 | 1.379.720 | 1.467.434 | 87.713 | 5.97% |

Berdasarkan perbandingan harga emas hasil peramalan dan harga emas asli sesuai data historis terbaru menunjukkan selisih yang tidak terlalu besar. Hal ini menunjukkan bahwa penggunaan model GARCH (1,1) masih cukup baik untuk digunakan peramalan pada harga emas pada bulan Juni - Agustus 2025.

Untuk mengidentifikasi kesalahan peramalan, peneliti akan menggunakan MAPE (*Mean Absolute Percentage Error*). Nilai MAPE yang didapat sebesar 3.78%, yang artinya hasil peramalan mendekati nilai aktual dengan kriteria MAPE sangat baik karena kurang dari 10%. Setelah mendapatkan keakurasian hasil peramalan maka dapat dilakukan peramalan bulan Juni - Agustus 2025. Berikut hasil peramalan tiap minggu pada bulan Juni - Agustus 2025:

Tabel 3. Hasil Peramalan Harga Emas periode Juni - Agustus 2025

| Periode | Forecast |
|-----------------|-----------|
| 1 Juni 2025 | 1.407.911 |
| 8 Juni 2025 | 1.409.474 |
| 15 Juni 2025 | 1.411.038 |
| 22 Juni 2025 | 1.412.601 |
| 29 Juni 2025 | 1.414.165 |
| 6 Juli 2025 | 1.415.728 |
| 13 Juli 2025 | 1.417.292 |
| 20 Juli 2025 | 1.418.855 |
| 27 Juli 2025 | 1.420.419 |
| 3 Agustus 2025 | 1.421.982 |
| 10 Agustus 2025 | 1.423.546 |
| 17 Agustus 2025 | 1.425.109 |
| 24 Agustus 2025 | 1.426.673 |

Tabel 3 tersebut menunjukan hasil peramalan pada bulan Juni – Agustus 2025 yang akan mengalami kenaikan harga mulai dari 1 Juni 2025 sampai 24 Agustus 2025.

4 KESIMPULAN

Berdasarkan penelitian yang ada, analisis menggunakan model GARCH menghasilkan GARCH (1,1) sebagai model terbaik dalam memprediksi data historis harga emas dengan diperkuat oleh nilai AIC dan SIC paling kecil yaitu 22.37385 dan 22.44600 dan nilai MAPE kurang dari 10% yaitu sebesar 3.78%. Penelitian juga menghasilkan jika lonjakan tertinggi harga emas dengan rentang waktu 2019 hingga 2024 ada pada 17 November 2024. Hasil peramalan pada bulan Juni - Agustus 2025 menunjukkan harga emas akan mengalami kenaikan yang signifikan. Dengan

begitu, dapat disimpulkan jika model GARCH (1,1) sudah tepat untuk meramalkan harga emas dimasa mendatang.

UCAPAN TERIMAKASIH

Terima kasih kepada semua pihak yang telah memberikan dukungan, bantuan, dan kontribusi dalam pelaksanaan penelitian ini, baik berupa pendanaan, fasilitas, data, maupun saran yang berharga, sehingga penelitian ini dapat terlaksana dengan baik dan menghasilkan temuan yang bermanfaat.

REFERENSI

- Abounoori, E., & Zabol, M. A. (2020). Modeling Gold Volatility: Realized GARCH Approach. Iranian Economic Review, 24(1), 299–311.
- Aktivani, S. (2020). Uji Stasioneritas Data Inflasi Kota Padang Periode 2014-2019. 20(2), 83–90.
- Amri, I. F., Astuti, S. A., Sulistiya, I., Suherdi, A., & Al-Haris, M. (2024). Peramalan Harga Emas Antam Menggunakan Metode Generalized Autoregressive Conditional Heteroskedasticity (GARCH). Jurnal UJMC, 10(1), 26–35.
- Amri, I. F., Puspitasari, L., Priambodo, D., Azzahrani, R. D., & Al Haris, M. (2024). Estimasi Risiko Pada Saham PT. Gojek Tokopedia Tbk dan Expected Shortfall Menggunakan ARIMA-GARCH Model. JAMBURA JOURNAL OF PROBABILITY AND STATISTICS, 5(2), 36–41. https://doi.org/10.34312/jjps.v5i1.22552
- Anbiya, W., & Garini, F. C. (2022). Application of GARCH Forecasting Method in Predicting The Number of Rail Passengers (Thousands of People) in Jabodetabek Region. Jurnal Matematika, Statistika Dan Komputasi, 18(2), 198–223. https://doi.org/10.20956/j.v18i2.18382
- Beeg, F. A., Paendong, M. S., & Mananohas, M. L. (2024). Penerapan Model Arima-Garch Untuk Peramalan Harga Emas Dunia. D'Cartesian: Jurnal Matematika Dan Aplikasi, 13(2), 73–79. https://ejournal.unsrat.ac.id/index.php/decartesian
- Budiman, J. (2025). EKONOMETRIKA DASAR. CV. EUREKA MEDIA AKSARA.
- Faustina, R. S., Agoestanto, A., & Hendikawati, P. (2017). Model Hybrid ARIMA-GARCH untuk Estimasi Volatilitas Harga Emas Menggunakan Software R. Unnes Journal of Mathematics, 6(1), 11–24. http://journal.unnes.ac.id/sju/index.php/ujm
- Firdausia, F. A., & Nasrudin. (2023). Pemodelan EGARCH Return Saham, Emas,dan Cryptocurrency Studi Empiris Puncak Pandemi Covid-19 di Indonesia. 1, 503–514.
- Handini, S., & Astawinetu, E. D. (2020). TEORI PORTOFOLIO DAN PASAR MODAL INDONESIA. SCOPINDO Media Pustaka.
- Hasan, A., & Rizaldi, A. R. (2021). Analisis Perbandingan Volatilitas Harga emas Sebelum Dan Masa Pandemi Covid-19 Menggunakan Model GARCH. YUME: Journal of Management, 4(3), 95–104. https://doi.org/10.37531/yume.vxix.234
- Investing.com. (2025). Data Historis XAU/USD-Emas Spot Dolar AS. https://id.investing.com/currencies/xau-usd-historical-data
- Larasati, E. N., Hendikawati, P., & Zaenuri. (2017). ANALISIS VOLATILITY FORECASTING SEMBILAN BAHAN POKOK MENGGUNAKAN METODE GARCH DENGAN PROGRAM R. UNNES Journal of Mathematics, 5(1), 90–99.

- Mubarak, R. (2021). PENGANTAR EKONOMETRIKA (1st ed.). Duta Media Publishing.
- Mumpuni, M., & Sitohang, S. E. H. (2017). PANDUAN BERINVESTASI EMAS UNTUK PEMULA. Solusi Finansialku Indonesia. www.Finansialku.com
- Muzakki, A. F., Aditama, D., & Anugrah, I. G. (2022). PENERAPAN METODE AUTOREGRESSIVE INTEGRATED MOVING AVERAGE UNTUK MEMPREDIKSI PENGGUNAAN BARANG MEDIS PADA LOGISTIK MEDIS RUMAH SAKIT MUHAMMADIYAH GRESIK. INDEXIA: Informatic and Computational Intelligent Journal, 4(1), 1–16.
- Narani, R., & Rikumahu, B. (2019). ANALISIS VOLATILITY SPILLOVER HARGA EMAS DAN HARGA BITCOIN TAHUN 2013-2018. E-Proceeding of Management, 6(2), 2220–2227.
- Nurfajriyah, R. S., Harjadi, D., & Adzimatinur, F. (2024). ANALISIS PERBANDINGAN METODE ARCH DAN GARCH DALAM PERAMALAN INDEKS HARGA SAHAM (Studi pada Indeks Harga Saham Sub Sektor Teknologi Periode 2021-2023). JIMEB, 1(2), 148.
- Sulistiowati, D., Syahrul, M. S., & Rianjaya, I. D. (2021). Analisis Risiko Harga Jual Emas dan Investasi Saham Antam Menggunakan Expected Shortfall Pada Masa Pandemi Covid-19. Jurnal Matematika, Statistika Dan Komputasi, 17(3), 428–437. https://doi.org/10.20956/j.v17i3.12779
- Witjaksono, B., Gunawan, I., Damayanti, M. M., Harto, P. P., Wibowo, H., Suprapto, E., Maknun, N. A. H., & Sutrisno, J. (2022). Investasi Emas BPKH. BADAN PENGELOLA KEUANGAN HAJI. www.bpkh.go.id